

# آشکارسازی عیب با استفاده از یک پارچه‌سازی روش آنالیز متغیر استاندارد و آنالیز مؤلفه مستقل مبنی بر فاکتور برون هشته محلی

الهام توسلی‌پور، محمدتقی حمیدی بهشتی و امین رمضانی

جزئی<sup>۳</sup> (PLS) برای آشکارسازی عیب در کاربردهای مختلف به کار گرفته شده‌اند [۴] تا [۶]. در سال ۲۰۰۴، آنالیز مؤلفه اصلی کرنل<sup>۳</sup> (KPCA) به عنوان یک روش نظارت فرایند غیر خطی پیشنهاد شد که روش مذکور نیازی به بهینه‌سازی غیر خطی ندارد [۷] و [۸]. به کار بردن روش PCA، به ناچار عملکرد محدودی را فراهم می‌کند. در واقع PCA بر این فرض استوار است که متغیرها توزیع گوسی دارند در صورتی که مؤلفه‌های اصلی استخراج شده از روش PCA در صنعت واقعی، به ندرت دارای توزیع گوسی هستند. از این رو در سال ۲۰۰۰ روش آنالیز مؤلفه مستقل<sup>۴</sup> (ICA) معرفی شد. ICA با در نظر گرفتن توزیع غیر گوسی برای متغیرها، داده‌های موجود را به داده‌های مستقل تبدیل می‌کند [۹]. روش ICA می‌تواند گسترش یافته روش PCA در نظر گرفته شود اگرچه هدف هر دو الگوریتم کاملاً متفاوت است. الگوریتم PCA سعی دارد تا مؤلفه‌های استخراج شده از این روش تا حد ممکن غیر همبسته شوند در حالی که الگوریتم ICA هر یک از مؤلفه‌ها را تا حد ممکن مستقل از یکدیگر می‌کند. در مجموع می‌توان گفت که نوابستگی در فرایند PCA ضعیف و در فرایند ICA قوی است. در روش PCA به دلیل فرض گوسی‌بودن متغیرها، محاسبه حد کنترلی با در نظر گرفتن توزیع  $F$  و ... می‌تواند انجام شود اما در روش ICA، این کار از طریق روش تخمین چگالی کرنل<sup>۵</sup> (KDE) صورت می‌گیرد. این روش به انتخاب پارامتر هموارسازی بسیار حساس است. از این رو در [۱۰]، روش ICA با روش ماشین بردار پشتیبان<sup>۶</sup> (SVM) به منظور توسعه یک روش آشکارساز عیب هوشمند یکپارچه شده است. در سال ۲۰۱۰ آنالیز مؤلفه مستقل کرنل<sup>۷</sup> (KICA) به منظور افزایش دقیقت در استخراج کردن متغیرهای مستقل و همچنین کنترل کردن فرایندهای غیر خطی به کار گرفته شد [۱۱]. همچنین در [۱۲]، KICA و KPCA همزمان برای آشکارسازی عیب مورد استفاده قرار گرفتند به گونه‌ای که هر دو نوع توزیع گوسی و غیر گوسی در فرایندهای صنعتی در نظر گرفته شود. سپس در مرحله بعد SVM به منظور عیب‌یابی مورد استفاده قرار گرفت. هر دو نوع روش ICA و PCA، محدودیت‌های مشترکی دارند. اولین محدودیت جدی آنها این است که توزیع خاصی را برای متغیرهای پنهان در نظر می‌گیرند. الگوریتم PCA برای متغیرهای پنهان توزیع گوسی و الگوریتم ICA توزیع غیر گوسی را در نظر می‌گیرند که با مشخصه‌های توزیع داده‌ها در صنعت سخت تطابق پیدا می‌کند زیرا داده‌ها در صنعت واقعی مخلوطی از توزیع گوسی و غیر گوسی هستند. کارهای اندکی در

چکیده: با توجه به اهمیت تشخیص و تصحیح سریع شرایط غیر عادی عیب در فرایندهای صنعتی، در این مقاله روشی جدید به منظور نظارت فرایند پیشنهاد شده است. در این روش هم‌زمان هم دینامیک فرایند و هم تأثیر داده‌های برون هشته در نظر گرفته شده است. ابتدا دینامیک فرایند به وسیله روش آنالیز متغیر استاندارد اعمال شده و سپس از الگوریتم آنالیز مؤلفه مستقل به منظور کاهش بعد داده‌ها استفاده شده است. همچنین حذف داده‌های برون هشته و محاسبه حد کنترلی بر اساس الگوریتم فاکتور برون هشته محلی صورت گرفته است که هیچ توزیع خاصی را برای متغیرهای فرایند در نظر نمی‌گیرد. از این رو با داده‌های موجود در صنعت تطبیق دارد. همچنین به منظور افزایش اعتبار روش پیشنهادی در راستای آشکارسازی عیب، این الگوریتم بر روی فرایند TE شبیه‌سازی شده است و مقایسه‌ای با نتایج حاصل از پژوهش‌های دیگر صورت گرفته است. نتایج حاکی از آن است که الگوریتم پیشنهادی بهترین عملکرد را نسبت به سایر روش‌ها دارد.

**کلید واژه:** آنالیز متغیر استاندارد، آنالیز مؤلفه مستقل، فاکتور برون هشته محلی، فرایند TE.

## ۱- مقدمه

هدف نظارت در مهندسی فرایندها این است که رفتارهای غیر طبیعی شرایط عملکرد فرایند را آشکار نماید. در جهت تحقق این هدف، روش‌های بسیاری به کار گرفته شده است. در میان این روش‌ها، روش آنالیز مؤلفه اصلی<sup>۸</sup> (PCA) کاربرد بسیار زیادی دارد و در سال‌های اخیر پژوهش‌های بسیار زیادی در این زمینه صورت گرفته است. روش PCA نخستین بار در سال ۱۹۹۶ مطرح شد. در حقیقت PCA یکی از پرکاربردترین روش‌های کاهش بعد است که برای متغیرها، توزیع گوسی را در نظر می‌گیرد. PCA متغیرهای پنهان را به جای متغیرهای اندازه‌گیری شده در فرایند استفاده می‌کند زیرا آنها بهتر می‌توانند رفتار فرایند را توصیف کنند. PCA آماره‌هایی همچون  $T^2$  و  $SPE$  را برای نظارت فرایند به کار می‌برد. در صورت ظاهرشدن مشکلی در فرایند، کواریانس ساختار فرایند تغییر می‌کند و این تغییر می‌تواند آشکار شود. در سال‌های بعدی به منظور عملکرد بهتر، PCA با روش‌های دیگری یکپارچه شد [۱] تا [۳]. به عنوان مثال، PCA و روش مجموع مربعات

این مقاله در تاریخ ۲۹ فروردین ماه ۱۳۹۳ دریافت و در تاریخ ۴ آبان ماه ۱۳۹۳ بازنگری شد.

الهام توسلی‌پور، دانشکده برق و کامپیوتر، دانشگاه تربیت مدرس، تهران (email: elham.tavasolipour@modares.ac.ir)

محمدتقی حمیدی بهشتی، دانشکده برق و کامپیوتر، دانشگاه تربیت مدرس، تهران (email: mbehesht@modares.ac.ir)

امین رمضانی، دانشکده برق و کامپیوتر، دانشگاه تربیت مدرس، تهران (email: ramezani@modares.ac.ir)

1. Principal Component Analysis

2. Partial Least Squares

3. Kernel PCA

4. Independent Component Analysis

5. Kernel Density Estimation

6. Support Vector Machine

7. Kernel ICA

است که دینامیک فرایند در آن در نظر گرفته نشده است. آنالیز متغیر استاندارد<sup>۷</sup> (CVA) یکی دیگر از روش‌های کاهش بعد است که در سال ۱۹۳۶ معرفی شد [۲۱]. این روش برای فرایندهای دینامیکی به کار می‌رود. مهم‌ترین مزیت روش CVA این است که برای فرایندهایی با داده‌های بسیار وابسته نتایج بسیار خوبی می‌دهد، در نتیجه می‌تواند جایگزین خوبی برای روش PCA باشد. متغیرهای استاندارد استخراج شده در روش CVA دارای توزیع گوسی و غیر همبسته هستند و توزیع غیر گوسی متغیرها را در نظر نمی‌گیرند. برای برطرف کردن این مشکل در [۲۲] روش CVA با روش ICA یکپارچه شد تا مزایای هر دو روش را هم‌زمان با هم داشته باشد که نتایج نسبت به سایر روش‌های مرتبط بهمود یافته است اما در این مقاله نیز تأثیر داده‌های بروون هشته در نظر گرفته نشده است.

به منظور فایق‌آمدن بر این مشکلات در این پژوهش، هم‌زمان هم دینامیک فرایند و هم کاهش بعد داده‌ها و هم تأثیر داده‌های بروون هشته در نظر گرفته شده است. ابتدا دینامیک فرایند از طریق روش CVA در نظر گرفته شده که در نتیجه این الگوریتم، متغیرها تا حد ممکن ICA غیر همبسته می‌شوند. سپس به منظور کاهش بعد داده‌ها روش DICA با روش SVM برای بهبود عملکرد عیوب‌بایی فرایندها ترکیب شده است [۱۷].

یکی دیگر از محدودیت‌های ICA و PCA در نظر نگرفتن داده‌های بروون هشته است. در واقع این روش‌ها، داده‌های آموزشی را تمیز در نظر می‌گیرند، به این معنی که هیچ آلوگی (برون هشتگی) در داده‌های آموزشی وجود ندارد، در حالی که داده‌های بروون هشته در فرایند باید تشخیص داده شده و حذف شوند. تأثیر داده‌های بروون هشته ممکن است به نتایج نادرستی از جمله افزایش حد کنترلی و تخمین اشتباہ پارامترها و ... منجر شود. افزایش حد کنترلی از مقدار طبیعی خود، موجب افزایش نرخ عدم تشخیص<sup>۳</sup> عیوب می‌شود. به منظور حذف داده‌های بروون هشته، در سال ۲۰۱۰ یک روش جدید به نام بروون هشتگی تنظیمی<sup>۴</sup> (AO) برای ICA و بر پایه اندازه‌گیری مستطیلی پیشنهاد شد [۱۸]. عیوب روش ذکر شده این است که وابستگی بین متغیرها در زمان‌های مختلف را در نظر نمی‌گیرد، در حالی که متغیرها در فرایندهای صنعتی از نظر دینامیکی به هم مرتبط هستند. برای برطرف کردن این مشکل، دینامیک فرایند به روش مذکور افزوده شد [۱۹]. شیوه‌سازی‌های نشان داده شده در این مقاله بهبود کاهش نرخ اخطار اشتباہ<sup>۵</sup> (Type I error) را نسبت به سایر روش‌ها نشان می‌دهد. اما در بیشتر فرایندهای صنعتی کاهش نرخ عدم تشخیص عیوب (Type II error) از اهمیت بیشتری برخوردار است.

## ۱-۲ الگوریتم ICA

در این بخش ابتدا الگوریتم ICA و سپس الگوریتم‌های LOF و CVA به اختصار تشریح شده است.

### ۲- الگوریتم‌های پیش‌نیاز

در الگوریتم ICA فرض می‌شود که تعداد  $m$  متغیر اندازه‌گیری شده

می‌تواند به صورت ترکیب خطی از  $d$  متغیر ناشناخته مستقل به صورت زیر نمایش داده شود [۹]

$$x_1, x_2, \dots, x_m \Rightarrow s_1, s_2, \dots, s_d, \quad d \leq m \quad (1)$$

مؤلفه‌های مستقل و متغیرهای اندازه‌گیری شده میانگین صفر دارند و رابطه بین آنها به صورت معادله زیر نشان داده می‌شود

$$X = AS \quad (2)$$

زمینه برطرف کردن این مشکل انجام شده که روش PCA و ICA را به طور زنجیره‌وار در دو مرحله انجام می‌دهند. در [۱۳] ابتدا ICA و سپس PCA برای استخراج کردن اطلاعات غیر گوسی و گوسی به کار گرفته شده است. در [۱۴] روش نظارت فرایند ابتدا با انجام دادن PCA و سپس ICA صورت گرفته است.

محدودیت دیگر آنها این است که فرض می‌کنند مشاهدات در یک زمان از نظر آماری نسبت به زمان‌های گذشته مستقل هستند. این فرض نامعتبر است زیرا داده‌ها در صنعت مشخصه دینامیک و وابستگی دارند. به منظور حل کردن این مشکل، روش آنالیز مؤلفه اصلی دینامیک<sup>۱</sup> (DPCA) پیشنهاد شد [۱۵]. این روش از یک ماتریس افزوده با متغیرهای تأخیر زمانی برای وارد کردن دینامیک فرایند استفاده می‌کند. در [۱۶] روش زمانی برای DICA با گسترش داده شد و روش جدیدی را به وجود آورد که آنالیز مؤلفه مستقل دینامیک<sup>۲</sup> (DICA) نامیده شد. در این روش ابتدا ماتریس داده‌ها با متغیرهای تأخیر زمانی افزوده می‌شود و سپس روش ICA به منظور کاهش بعد به آن اعمال می‌گردد. نتایج نشان می‌دهند که عملکرد بهتری نسبت به روش ICA دارد. در پژوهش دیگری DICA با روش SVM برای بهبود عملکرد عیوب‌بایی فرایندها ترکیب شده است [۱۷].

یکی دیگر از محدودیت‌های ICA و PCA در نظر نگرفتن داده‌های بروون هشته است. در واقع این روش‌ها، داده‌های آموزشی را تمیز در نظر می‌گیرند، به این معنی که هیچ آلوگی (برون هشتگی) در داده‌های آموزشی وجود ندارد، در حالی که داده‌های بروون هشته در فرایند باید تشخیص داده شده و حذف شوند. تأثیر داده‌های بروون هشته ممکن است به نتایج نادرستی از جمله افزایش حد کنترلی و تخمین اشتباہ پارامترها و ... منجر شود. افزایش حد کنترلی از مقدار طبیعی خود، موجب افزایش نرخ عدم تشخیص<sup>۳</sup> عیوب می‌شود. به منظور حذف داده‌های بروون هشته، در سال ۲۰۱۰ یک روش جدید به نام بروون هشتگی تنظیمی<sup>۴</sup> (AO) برای ICA و بر پایه اندازه‌گیری مستطیلی پیشنهاد شد [۱۸]. عیوب روش ذکر شده این است که وابستگی بین متغیرها در زمان‌های مختلف را در نظر نمی‌گیرد، در حالی که متغیرها در فرایندهای صنعتی از نظر دینامیکی به هم مرتبط هستند. برای برطرف کردن این مشکل، دینامیک فرایند به روش مذکور افزوده شد [۱۹]. شیوه‌سازی‌های نشان داده شده در این مقاله بهبود کاهش نرخ اخطار اشتباہ<sup>۵</sup> (Type I error) را نسبت به سایر روش‌ها نشان می‌دهد. اما در بیشتر فرایندهای صنعتی کاهش نرخ عدم تشخیص عیوب (Type II error) از اهمیت بیشتری برخوردار است. اگرچه در این روش هم دینامیک فرایند و هم تأثیر داده‌های بروون هشته در نظر گرفته شده اما در این روش، اندازه‌گیری مستطیلی این محدودیت را دارد که نمی‌تواند با دقت خوبی مزدوج غیر خطی شرایط عملکرد نرمال را تخمین بزند.

از دیگر کارهایی که در زمینه حذف داده‌های بروون هشته صورت گرفته است می‌توان به [۲۰] اشاره کرد. در این روش ICA با فاکتور بروون هشته محلی<sup>۶</sup> (LOF) یکپارچه شده است. در حقیقت LOF یک روش کشف داده‌های بروون هشته بر مبنای تراکم است. مشکل عمده این روش این

1. Dynamic PCA
2. Dynamic ICA
3. Missed Detection
4. Adjusted Outlier
5. False Alarm
6. Local Outlier Factor

می‌دهد که شیء ما دور از نمونه‌های ممکن قرار گرفته است، بنابراین مقدار LOF آن مقداری بزرگ می‌شود.

### ۳-۲ الگوریتم CVA

در یک نقطه عملکرد پایدار، سیستم دینامیکی غیر خطی می‌تواند به صورت یک مدل فضای حالت تصادفی به شکل زیر تقریب زده شود [۲۴]

$$\begin{aligned} x(k+1) &= Bx(k) + w(k) \\ y(k) &= C(k) + e(k) \end{aligned} \quad (8)$$

که در آن  $B$  و  $C$  به ترتیب ماتریس‌های حالت و خروجی هستند.  $w(k)$  و  $e(k)$  خطاهای مدل‌سازی هستند که معمولاً دارای توزیع غیر گوسی فرض می‌شوند و  $x(k)$  و  $y(k)$  حالت و خروجی سیستم را در زمان  $k$  نشان می‌دهند.

ابتدا باید بردار اندازه‌گیری  $y(k)$  به همراه  $q$  اندازه‌گیری گذشته و آینده به صورت زیر بسط داده شود

$$\begin{aligned} y_p(k) &= \begin{bmatrix} y(k-1) \\ y(k-2) \\ \vdots \\ y(k-q) \end{bmatrix} \in R^{mq} \\ y_f(k) &= \begin{bmatrix} y(k) \\ y(k+1) \\ \vdots \\ y(k+q-1) \end{bmatrix} \in R^{mq} \end{aligned} \quad (9)$$

ماتریس‌های مشاهدات گذشته و آینده به صورت زیر تعریف می‌شوند

$$Y_p = [\hat{y}_p(k) \quad \hat{y}_p(k+1) \quad \dots \quad \hat{y}_p(k+N-1)] \in R^{mq \times N} \quad (10)$$

$$Y_f = [\hat{y}_f(k) \quad \hat{y}_f(k+1) \quad \dots \quad \hat{y}_f(k+N-1)] \in R^{mq \times N} \quad (11)$$

در معادلات بالا  $\hat{y}$  اختلاف بین بردار مشاهده شده از مقدار میانگین است.

ماتریس‌های کواریانس بین مشاهدات گذشته و آینده به صورت زیر می‌توانند تخمین زده شوند

$$\begin{aligned} \sum_{pp} &= \frac{1}{N-1} Y_p Y_p^T \\ \sum_{ff} &= \frac{1}{N-1} Y_f Y_f^T \\ \sum_{fp} &= \frac{1}{N-1} Y_f Y_p^T \end{aligned} \quad (12)$$

CVA تلاش می‌کند که بهترین ترکیب خطی را بین  $(\hat{y}_f(k))$  و  $c^T$  به گونه‌ای پیدا کند که وابستگی بین این ترکیب‌ها بیشینه شود. حل مسئله بهینه‌سازی مقید می‌تواند در میان تجزیه مقادیر ویژه ماتریس  $H$  که به صورت زیر نشان داده می‌شود، به دست آید

$$H = \sum_{ff}^{-1} \sum_{fp}^{-1} \sum_{pp}^{-1} = U \sum V^T \quad (13)$$

بعد از به دست آوردن تجزیه مقادیر ویژه، متغیر استاندارد  $z(k)$  که بر اساس اندازه‌گیری‌های گذشته است به صورت زیر به دست می‌آید

$$z(k) = V^T \sum_{pp}^{-1} \hat{y}_p(k) = J \hat{y}_p(k) \in R^{mq} \quad (14)$$

ماتریس تبدیلی است که اندازه‌گیری‌های گذشته را به فضای متغیرهای استاندارد تبدیل می‌کند. فضای متغیرهای استاندارد می‌تواند به

که در آن  $X$  ماتریس داده‌ها و  $A$  ماتریس ترکیب ناشناخته و  $S$  ماتریس مؤلفه‌های مستقل هستند.

همچنین می‌توان هدف ICA را به این صورت نیز بیان کرد: هدف یافتن ماتریس  $W$  به گونه‌ای است که سطرهای ماتریس بازسازی شده  $\tilde{S}$  مطابق معادله زیر تا حد ممکن مستقل از یکدیگر شوند

$$\tilde{S} = WX \quad (3)$$

در (۳) ماتریس  $W$  در حقیقت معکوس ماتریس  $A$  می‌باشد. الگوریتم رایج برای یافتن مؤلفه‌های مستقل الگوریتم FastICA است که در [۹] تشریح شده است.

### ۲-۲ الگوریتم LOF

در این بخش، جزئیات الگوریتم LOF توضیح داده شده است [۲۳]. این الگوریتم می‌تواند برای حذف برون هشته‌ها و همچنین محاسبه حد کنتrolی مورد استفاده قرار گیرد.

(الف) فاصله  $k$  از شیء  $p$ : برای هر عدد صحیح مثبت  $k$ ، فاصله  $k$  از شیء  $p$  به صورت  $k-distance(p)$  نمایش داده شده و برابر فاصله اقلیدسی بین  $p$  و هر شیء  $o$  متعلق به مجموعه  $D$  تعریف می‌شود.

(ب) همسایگی فاصله  $k$  برای شیء  $p$ : اگر فرض کنیم که فاصله  $k$  از شیء  $p$  یعنی  $k-distance(p)$  شامل هر شیء است که فاصله آن از  $p$  بزرگ‌تر از  $k-distance(p)$  نباشد یعنی

$$\begin{aligned} N_{k-distance(p)}(p) &= \\ \{q \in D \setminus \{p\} \mid d(p, q) \leq k-distance(p)\} \end{aligned} \quad (4)$$

نقطه  $q$  نزدیک‌ترین همسایگی  $p$  نامیده می‌شوند. همچنین از این پس  $N_k(p)$  نشان داده می‌شود.

(ج) فاصله قابل دستیابی محلی برای شیء  $p$ : فاصله قابل دستیابی شیء  $p$  نسبت به شیء  $o$  به صورت زیر تعریف می‌شود

$$reach-dist_k(p, o) = \max \{k-distance(p), d(p, o)\} \quad (5)$$

(د) چگالی قابل دستیابی محلی ( $lrd$ ) برای شیء  $p$ : به صورت زیر تعریف می‌شود

$$lrd_k(p) = \frac{1}{\sum_{o \in N_k(p)} reach-dist_k(p, o)} \quad (6)$$

(ه) فاکتور برون هشته محلی برای شیء  $p$ : به صورت زیر تعریف می‌شود

$$LOF(p) = \frac{\sum_{o \in N_k(p)} lrd_k(o)}{N_k(p)} \quad (7)$$

فاکتور برون هشته محلی نقطه  $p$  درجه‌ای را می‌دهد که می‌تواند  $p$  را یک برون هشته در نظر بگیرد. در حقیقت، این معادله میانگین نرخ چگالی قابل دستیابی محلی شیء  $p$  و نزدیک‌ترین همسایگی‌های این شیء است. اگر شیء  $p$  یک شیء برون هشته نباشد، مقدار LOF آن نزدیک به یک می‌شود زیرا تراکم آن نزدیک به تراکم سایر نقاط در  $N_k(p)$  می‌شود. اما اگر شیء  $p$  یک برون هشته باشد، مقدار LOF آن بزرگ‌تر از یک می‌شود زیرا نسبت تراکم  $p$  به تراکم سایر نقاط کم است و تفاوت بین صورت کسر و مخرج آن در (۷) زیاد می‌شود و این نشان

شیوه بیان شده در گام سوم محاسبه می‌شود. در نهایت هم حد کنترلی برای حالت درون خطی در هر دو فضای تعیین می‌شود. حد کنترلی ۹۹٪  $LOF(\hat{s}_{x_1})$  در فضای اصلی و  $LOF(\hat{s}_r)$  در فضای باقی‌مانده می‌شود. در فضای باقی‌مانده به دست می‌آید. به این ترتیب با به دست آمدن حدود کنترلی و ماتریس‌های  $W_{x_1}$  و  $W_r$  فاز مدل‌سازی به پایان می‌رسد.

### ۲-۳ فاز ناظارت در الگوریتم CV-ICA(LOF)

گام اول: ابتدا باید ماتریس جدید داده‌های آزمایش  $\hat{y}_{pnew}$  را به دست آورد.

گام دوم: در این مرحله، متغیرهای استاندارد مطابق رابطه زیر محاسبه می‌شوند

$$\hat{z} = \hat{J}\hat{y}_{pnew} = [\hat{x}^T : \hat{r}^T]^T \quad (21)$$

گام سوم: مؤلفه‌های مستقل در هر دو فضای مطابق روابط زیر به دست می‌آیند

$$\begin{aligned} \hat{s}_x^{new} &= W_{x_1} \hat{x} \\ \hat{s}_r^{new} &= W_r \hat{r} \end{aligned} \quad (22)$$

گام چهارم: سپس مقادیر LOF برای  $\hat{s}_x^{new}$  و  $\hat{s}_r^{new}$  محاسبه می‌شوند که به صورت  $LOF(\hat{s}_x^{new})$  و  $LOF(\hat{s}_r^{new})$  نمایش داده می‌شود. اگر  $LOF(\hat{s}_x^{new}) > LOF(\hat{s}_r^{new})$  یا  $LOF(\hat{s}_x^{new}) > LOF(\hat{s}_{x_1})$  آن نمونه به عنوان عیب شناخته می‌شود و در غیر این صورت به عنوان یک داده طبیعی در فاز ناظارت تلقی می‌شود. الگوریتم محاسبه مقادیر LOF در فاز ناظارت دارای تفاوت‌هایی با فاز مدل‌سازی است که در [۲۰] به طور کامل تشریح شده است. در حقیقت در این بخش از الگوریتم تخمینی استفاده می‌شود. الگوریتم تخمینی نیاز به محاسبات کمتری نسبت به الگوریتم واقعی دارد و ضمن این که نتایج در مقایسه با الگوریتم واقعی تغییر چشم‌گیری نمی‌کند. در حقیقت در ازای از دست دادن بخش ناچیزی از اطلاعات، زمان اجرای محاسبات به مقدار قابل توجهی کاهش پیدا می‌کند.

## ۴- شبیه‌سازی‌ها و نتایج

### ۴-۱ فرایند TE

شرکت شیمیایی ایستمن، فرایند تنسی ایستمن<sup>(۱)</sup> (TEP) را برای وجود یک فرایند صنعتی واقعی برای ارزیابی روش‌های ناظارت و کنترل به وجود آورده است. فرایند آزمایشی مبتنی بر شبیه‌سازی یک فرایند صنعتی واقعی است که در آن اجزا و شرایط کاری به دلایل خاصی تغییر کرده‌اند [۲۵]. این فرایند شامل ۴۱ متغیر اندازه‌گیری و ۱۲ متغیر کنترلی است. همه اندازه‌گیری‌های فرایند شامل اختلال گوسی می‌باشند. برای فاز مدل‌سازی از داده‌های کلاس عیب صفر (داده‌های بدون عیب) استفاده شده است. شبیه‌سازی فرایند TE شامل ۲۱ عیب از پیش تعیین شده است که در ادامه مطلب جزئیات ۲۰ عیب آمده است.

### ۴-۲ نتایج

همان گونه که قبلاً توضیح داده شد، این روش به دو فضای اصلی و فضای باقی‌مانده تقسیم می‌شود. در این بخش شبیه‌سازی‌های مربوط به هر دو فضای آورده شده است. همچنین هر ۵۲ متغیر موجود در فرایند TE

دو بخش مجزا تقسیم شود: فضای اصلی و فضای باقی‌مانده. این فضاهای با تأثیر دامنه مقادیر ویژه  $\sigma_i$ ،  $i = 1, 2, \dots, mq$  محاسبه می‌شوند. در شرایطی که  $l < mq$  باشد،  $l$  مقدار ویژه اول مقادیر ویژه، فضای اصلی را تشکیل می‌دهند ( $x(k) \in R^l$ ) و مقادیر ویژه باقی‌مانده، در فضای باقی‌مانده جای می‌گیرند ( $r(k) \in R^{mq-l}$ ). بنابراین، متغیر استاندارد به صورت زیر می‌تواند نمایش داده شود

$$z(k) = [x(k)^T : r(k)^T]^T \quad (23)$$

جزئیات الگوریتم CVA در [۲۴] تشریح شده است.

### ۳- طراحی الگوریتم‌های آشکارسازی عیب

در این بخش به طراحی الگوریتم پیشنهادی جهت آشکارسازی عیب پرداخته می‌شود. آشکارسازی عیب در دو فاز مدل‌سازی و ناظرت صورت می‌گیرد. ابتدا فاز مدل‌سازی برای روش CV-ICA(LOF) طراحی می‌گردد. منظور از نکارش (LOF)، به کارگیری روش CV-ICA با استفاده از آماره LOF می‌باشد. پس از به دست آوردن حد کنترلی، به بیان چگونگی آشکارسازی عیب در فاز ناظرت پرداخته می‌شود. در ادامه جزئیات این الگوریتم تشریح می‌شود.

### ۳-۱ فاز مدل‌سازی در الگوریتم CV-ICA(LOF)

گام اول: ابتدا ماتریس داده‌های آموزشی  $Y \in R^{m \times N}$ ، بارگذاری می‌شود. پس از تعیین مقدار تأخیر  $q$  که در این پژوهش، مقدار  $q = 3$  انتخاب شده است [۲۲]، متغیرهای استاندارد از (۲۳) به دست می‌آیند.

گام دوم: در این مرحله پس از به دست آوردن متغیرهای استاندارد، مؤلفه‌های مستقل در هر دو فضای اصلی و باقی‌مانده مطابق روابط زیر محاسبه می‌شوند

$$\begin{aligned} \hat{s}_{x_1} &= W_{x_1} \cdot x = [\hat{s}_{x_1}(1) \hat{s}_{x_1}(2) \dots \hat{s}_{x_1}(N)] \\ \hat{s}_r &= W_r \cdot r = [\hat{s}_r(1) \hat{s}_r(2) \dots \hat{s}_r(N)] \end{aligned} \quad (24)$$

گام سوم: سپس الگوریتم LOF به مؤلفه‌های مستقل در هر دو فضای اصلی و باقی‌مانده  $\hat{s}_{x_1}$  و  $\hat{s}_r$  به صورت زیر اعمال می‌شود

$$LOF(\hat{s}_{x_1}) = [LOF(\hat{s}_{x_1}(1)) \dots LOF(\hat{s}_{x_1}(N))] \quad (25)$$

$$LOF(\hat{s}_r) = [LOF(\hat{s}_r(1)) \dots LOF(\hat{s}_r(N))] \quad (26)$$

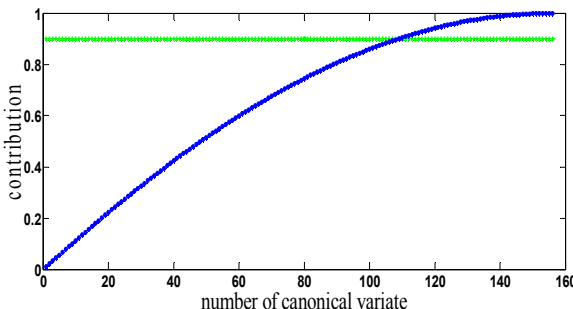
گام چهارم: در این مرحله داده‌های برونو هشتة در هر فضای طور جداگانه حذف می‌شوند. برای حذف برونو هشتة، با استفاده از مقادیر LOF یک تابع چگالی احتمال کرنل با استفاده از روش KDE تخمین زده می‌شود و سپس حد  $\frac{99}{3}$ % آن به عنوان مرز برونو هشتگی تعیین می‌گردد. برای ماتریس داده‌ها، یک نمونه به عنوان یک داده برونو هشتة است، اگر  $x_j = r_j$  for  $j = 1, 2, \dots, N$ . بزرگ‌تر از حد  $\frac{99}{3}$ %  $LOF(\hat{s}_j)$  باشد. محاسبه شده توسط  $LOF(\hat{s}_j)$  با  $KDE$  باشد.

گام پنجم: بعد از حذف داده‌های برونو هشتة از هر دو فضای مجددًا ماتریس‌های  $x'$  و  $r'$  با  $N_x$  و  $N_r$  نمونه تشکیل می‌شوند. سپس الگوریتم ICA بر روی هر دو ماتریس در فضای اصلی و باقی‌مانده، به منظور به دست آوردن ماتریس‌های  $W_{x_1}$  و  $W_r$  برای حالت درون خطی اجرا می‌شود. این ماتریس‌ها از روابط زیر به دست می‌آیند

$$\hat{s}_{x_1} = W_{x_1} x' = [\hat{s}_{x_1}(1) \dots \hat{s}_{x_1}(N_x)] \quad (27)$$

$$\hat{s}_r = W_r r' = [\hat{s}_r(1) \dots \hat{s}_r(N_r)] \quad (28)$$

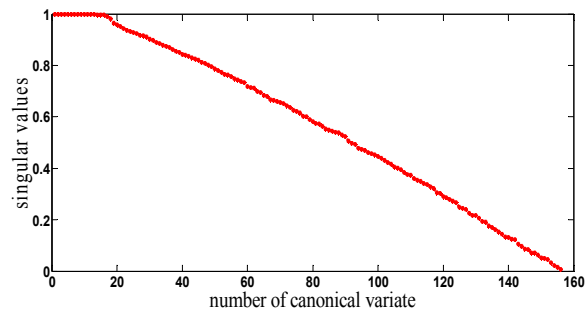
گام ششم: در این مرحله مقادیر  $LOF(\hat{s}_{x_1})$  و  $LOF(\hat{s}_r)$  به همان



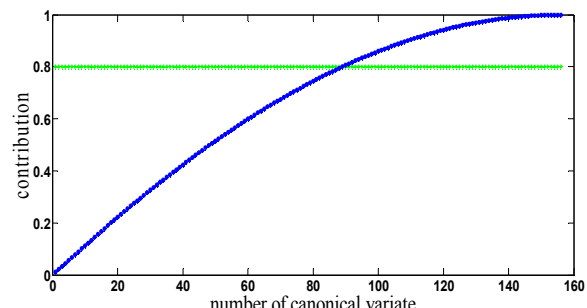
شکل ۳: تعداد متغیرهای استاندارد در نسبت مقادیر ویژه ۹۰٪.

جدول ۱: نرخ عدم تشخیص عیب بر حسب درصد در مقایسه با نسبت‌های مختلف مقادیر ویژه در فضای اصلی و پارامتر  $K$ .

Fault ID	%۸۰ ( $k = 10$ )	%۸۰ ( $k = 20$ )	%۹۰ ( $k = 10$ )
۱۳	۱,۳۷	۱,۵	۰,۷۵
۱۶	-	-	-
۱۷	۰,۶۲	۰,۶۲	۰,۳۸
۱۸	۱,۵	۱,۵	۰,۵
۲۰	۳,۱۲	۲,۷۵	۱,۳۸



شکل ۱: نمودار نشان‌دهنده مقدار ویژه برای هر متغیر استاندارد.



شکل ۲: تعداد متغیرهای استاندارد در نسبت مقادیر ویژه ۸۰٪.

همان طور که جدول ۱ نشان می‌دهد، در میان این الگوریتم‌ها، الگوریتم پیشنهادی پایین‌ترین میانگین نرخ عدم تشخیص عیب را دارد. زیرا در این الگوریتم، همزمان هم دینامیک فرایند و هم تأثیر داده‌های بروون هشته در نظر گرفته شده است. الگوریتم LOF به هر داده‌ای صرف نظر از توزیع آن، درجه‌ای از بروون هشتگی نسبت می‌دهد. از این رو با داده‌های موجود در صنعت تطابق دارد. همچنین روش DPCA بالاترین میانگین نرخ عدم تشخیص عیب را دارد زیرا در این روش تأثیر داده‌های بروون هشته در نظر گرفته نشده و همچنین از روش PCA به منظور کاهش بعد داده‌ها استفاده شده است. به کار بردن روش CV-ICA با دو آماره  $I^1$  و LOF موجب می‌شود که عیوب‌های شماره ۳ و ۱۵ که دارای دامنه بسیاری کوچکی هستند و در اکثر روش‌ها نیز قابل تشخیص نیستند، به راحتی و با نرخ خطاهای پایینی آشکار شوند. الگوریتم CV-ICA ( $I^1$ ) نسبت به الگوریتم پیشنهادی نرخ خطای بالاتری دارد زیرا این الگوریتم از آماره  $I^1$  جهت محاسبه حد کنترلی و حذف داده‌های بروون هشته استفاده می‌کند. این آماره اندازه‌گیری نوع بیضی شکل را در محاسبات خود به کار می‌برد. به دلیل در نظر گرفتن توزیع خاص برای متغیرها، اختلاف بین آماره واقعی و تخمین زده شده زیاد می‌شود و همین امر موجب افزایش نرخ خطای در این الگوریتم می‌شود.

شکل‌های ۴ و ۵ روش پیشنهادی را برای عیوب شماره ۳ در هر دو فضا نشان می‌دهند. همان گونه که از شکل‌ها مشخص است، مزیت الگوریتم پیشنهادی این است که در بیشتر نمونه‌ها دو فضا مکمل یکدیگر هستند. به این معنا که اگر در نمونه‌ای، فضای اصلی نتواند وقوع عیوب را در فرایند تشخیص دهد، فضای باقی‌مانده وقوع آن عیوب را آشکار می‌کند یا بالعکس. همین امر موجب برتری روش پیشنهادی نسبت به الگوریتم DICA(LOF) می‌شود. همچنین نتایج این الگوریتم در مقایسه با روش CV-ICA ( $I^1$ ) نیز بهبود یافته و دلیل آن هم در نظر گرفتن تأثیر داده‌های بروون هشته در الگوریتم پیشنهادی است.

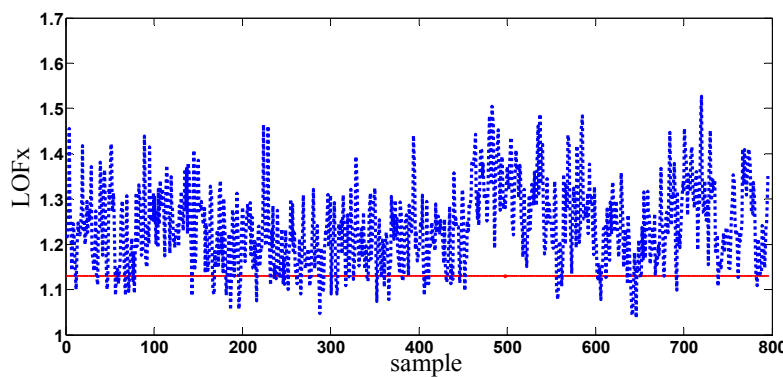
## ۵- نتیجه‌گیری

در این پژوهش، روشی جدید به منظور نظارت فرایند پیشنهاد شده که در این روش همزمان هم دینامیک فرایند و هم تأثیر داده‌های بروون هشته

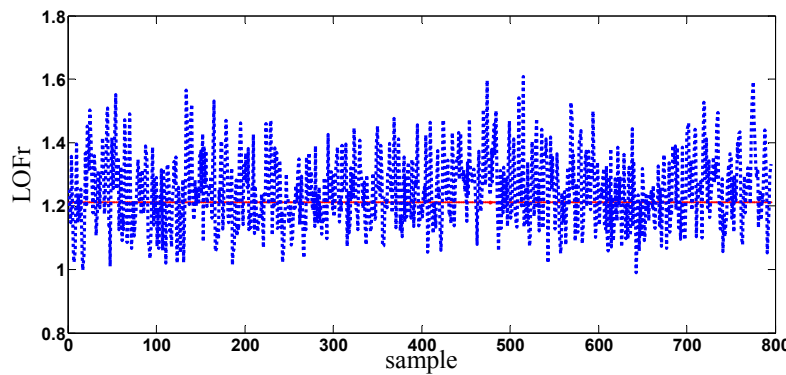
برای شبیه‌سازی انتخاب شده است. در الگوریتم CVA، مقدار  $q = 3$  انتخاب شده است. با در نظر گرفتن هر ۵۲ متغیر مقدار  $mq = 3$  دست خواهد آمد. نکته مهمی که در این الگوریتم وجود دارد، انتخاب تعداد مقادیر ویژه در فضای اصلی است. این انتخاب هیچ قانون خاصی ندارد اما به طور کلی اگر نسبت  $l$  مقدار ویژه تأثیرگذار موجود در فضای اصلی به کل مقادیر ویژه خیلی زیاد باشد، در این صورت فضای اصلی شامل اختلال‌های فیلترنشده خواهد بود. بر عکس اگر نسبت  $l$  مقدار ویژه تأثیرگذار موجود در فضای اصلی به کل مقادیر ویژه خیلی کم باشد، فضای اصلی بخش بسیار زیادی از اطلاعات را از دست خواهد داد. شکل ۱ نشان‌دهنده مقادیر ویژه برای هر متغیر استاندارد است. همچنین شکل‌های ۲ و ۳ نسبت مقادیر ویژه ۸۰٪ و ۹۰٪ را نشان می‌دهند.

در جدول ۱ چندین عیب مختلف و همچنین مقادیر  $l$  و  $k$  مرتبط با آنها آورده شده است. اگر مقایسه‌ای بین نرخ عدم تشخیص عیب، زمانی که نسبت مقادیر ویژه موجود در فضای اصلی به کل مقادیر ویژه  $\%80$  و  $\%90$  باشد صورت گیرد، کاملاً واضح است که انتخاب نسبت  $\%90/\%80 = 10.9$  مناسب می‌باشد. در این حالت علاوه بر انتخاب نسبت مقادیر ویژه، پارامتر  $k$  موجود در الگوریتم LOF نیز تأثیرگذار است. همان‌گونه که در جدول مشخص است، این پارامتر برای نسبت  $\%80$  یک بار برابر ۱۰ و بار دیگر برابر ۲۰ انتخاب شده است. همچنین برای نسبت مقادیر ویژه  $\%90/\%80 = 10.38$  برابر با ۱۰ انتخاب شده است. همان طور که از جدول مشخص است، نرخ عدم تشخیص عیب در عیوب شماره ۲۰ در بهترین حالت به  $\%13.8$  کاهش یافته است. این در حالی است که با انتخاب نسبت مقادیر ویژه  $\%80/\%70 = 11.38$  این نرخ بیشتر می‌شود. در حقیقت در این پژوهش معیار انتخاب نسبت مقادیر ویژه در فضای اصلی به کل مقادیر ویژه مقایسه نرخ عدم تشخیص در عیوب‌هایی است که بیشتر حائز اهمیت هستند. همچنین در هر سه حالت، هر دو نرخ خطای برای عیوب شماره ۱۶ به صفر کاهش یافته است.

نتایج روش پیشنهادی در مقایسه با روش‌های CV-ICA ( $I^1$ ) و ICA در جدول ۲ آورده شده است. روش‌های مذکور برای مقایسه از [۲۲] آورده شده‌اند.



شکل ۴: نتیجه نظارت فرایند TE در روش CV-ICA(LOF) در عیب ۳ در فضای اصلی.



شکل ۵: نتیجه نظارت فرایند TE در روش CV-ICA(LOF) در عیب ۳ در فضای باقیمانده.

جدول ۲: نرخ عدم تشخیص عیب در فرایند TE در روش CV-ICA(LOF) بر حسب درصد.

Fault no. description	CV-ICA ( $I^r$ )	ICA	DPCA	CV-ICA(LOF)
1. A/C feed ratio, B composition constant	.	۰/۴۱	.	.
2. B composition, A/C ratio constant	.	۹۲/۹۲	۱/۲۵	.
3. D feed temperature	۸/۲۱	۸۳/۸۶	۹۸/۵۴	۶/۴۲
4. Reactor cooling water inlet temperature	.	۴/۵۸	۰/۱۲	.
5. Condenser cooling water inlet temperature	.	.	۷۰/۹۱	.
6. A feed loss	.	.	۱/۴۶	.
7. C header pressure loss	.	.	.	.
8. A, B, C feed composition	۰/۶۳	۲/۷۱	۱/۸۷	.
9. D feed temperature	۴/۲۱	۹۲/۷۱	۹۸/۱۲	۲/۱
10. C feed temperature	۰/۴۲	۸/۷۵	۱۶/۸۷	.
11. Reactor cooling water inlet temperature	.	۲۰/۸۳	۱۸/۱۲	.
12. Condenser cooling water inlet temperature	.	۱/۴۶	۲/۰۸	.
13. Reaction kinetics	.	۲/۵	۴/۲۵	۰/۷۵
14. Reactor cooling water valve	.	۰/۲۱	۱/۶۷	.
15. Condenser cooling water valve	۲/۱	۸۸/۵۴	۹۶/۸۷	۱/۷۶
16. Unknown	۰/۶۳	۱۹/۵۹	۷۳/۷۸	.
17. Unknown	.	۹/۵۸	۶/۸۷	۰/۳۸
18. Unknown	۱/۲۶	۱۵/۴۲	۱۳/۷۵	۰/۵
19. Unknown	.	۲۴/۱۷	۱۲/۹۸	.
20. Unknown	۰/۴۲	۶/۰۴	۲۱/۶۷	۱/۳۸
Average	۰/۸۹۴	۲۳/۷۱۴	۲۷/۰۵۹	۰/۶۶۴

LOF می‌تواند مز قراردادی غیر خطی را به همراه شرایط عملکرد طبیعی در فضای متغیرهای پنهان محاسبه کند، محدوده کنترلی می‌تواند با دقت بیشتری نسبت به سایر روش‌های موجود تخمین زده شود و این امر موجب کاهش نرخ عدم تشخیص عیب می‌شود. سپس با استفاده از LOF

در نظر گرفته شده است. ابتدا از الگوریتم CVA برای در نظر گرفتن دینامیک و وابستگی بین متغیرهای فرایند و سپس از الگوریتم ICA به منظور کاهش بعد در داده‌ها استفاده شده است. داده‌های بروون هشتة با استفاده از الگوریتم LOF حذف شدند تا تأثیر آنها از میان برود. چون

- [16] M. L. Jong, Y. ChangKyoo, and L. In-Beum, "Statistical monitoring of dynamic processes based on dynamic independent component analysis," *Chem. Eng. Sci.*, vol. 59, no. 14, pp. 2995-3006, Jul. 2004.
- [17] M. Isaac, B. Raul, E. Gerard, and G. Moises, "DICA enhanced SVM classification approach to fault diagnosis for chemical processes," in *Proc. 19th European Symposium on Computer Aided Process Engineering, ESCAPE'09*, vol. 26, pp. 267-272, 2009.
- [18] H. Chun-Chin, C. Long-Sheng, and L. Cheng-Hsiang, "A process monitoring scheme based on independent component analysis and adjusted outliers," *Int. J. Prod. Res.*, vol. 48, no. 15, pp. 1727-1743, 2010.
- [19] H. Chun-Chin, C. Mu-Chen, and C. Long-Sheng, "A novel process monitoring approach with dynamic independent component analysis," *Control Eng. Pract.*, vol. 18, no. 3, pp. 242-253, Mar. 2010.
- [20] J. Lee, B. Kang, and S. H. Kang, "Integrating independent component analysis and local outlier factor for plant-wide process monitoring," *J. Process Control*, vol. 21, no. 7, pp. 1011-1021, Aug. 2011.
- [21] A. Norvalis, A. Negiz, J. DeCicco, and A. Cinar, "Intelligent process monitoring by interfacing knowledge-based systems and multivariate statistical monitoring," *J. Process Control*, vol. 10, no. 4, pp. 341-350, Aug. 2000.
- [22] Y. Yang, Y. Chen, X. Chen, and X. Liu, "Multivariate industrial process monitoring based on the integration method of canonical variate analysis and independent component analysis," *Chemometr. Intell. Lab.*, vol. 116, pp. 94-101, Jul. 2012.
- [23] M. M. Breunig, H. P. Kriegel, R. T. Ng, and J. Sander, "Identifying density-based local outliers," in *Proc. ACM Int. Conf. on Management of Data, SIGMOD'00*, pp. 93-104, 2000.
- [24] P. P. Odiowei and Y. Cao, "Nonlinear dynamic process monitoring using canonical variate analysis and kernel density estimations," *IEEE Trans. on Industrial Informatics*, vol. 6, no. 1, pp. 36-44, Mar. 2010.
- [25] L. H. Chiang, E. L. Russell, and R. D. Braatz, *Fault Detection and Diagnosis in Industrial Systems*, Springer, Urbana-champaign, London, Ch. 1, pp. 103-108.

**الهام توسلیپور** در سال ۱۳۹۰ مدرک کارشناسی مهندسی برق کنترل خود را از دانشگاه صنعتی شاهرود و در سال ۱۳۹۲ مدرک کارشناسی ارشد مهندسی برق کنترل خود را از دانشگاه تربیت مدرس دریافت نمود. وی هم اکنون مشغول به تحصیل در مقاطع دکتری رشته مهندسی برق در دانشگاه علم و صنعت ایران می‌باشد. زمینه‌های تحقیقاتی مورد علاقه ایشان عبارتند از: شناسایی سیستم، کنترل فرآیند، کنترل سیستم‌های تحمل پذیر عیب.

**محمد تقی حمیدی بهشتی** در سال ۱۳۶۳ مدرک کارشناسی مهندسی برق خود را از دانشگاه نیبراسکا در امریکا و مدارک کارشناسی ارشد و دکتری مهندسی برق خود را به ترتیب در سال‌های ۱۳۶۶ و ۱۳۷۱ و از دانشگاه ایالتی ویجیتا در کانزاس امریکا دریافت نمود. دکتر بهشتی هم‌اکنون یکی از اعضای هیأت علمی گروه مهندسی برق کنترل دانشکده مهندسی برق و کامپیوتر دانشگاه تربیت مدرس می‌باشد. زمینه‌های علمی مورد علاقه نامبرده متنوع بوده و شامل موضوعاتی مانند کنترل بهینه، کنترل تطبیقی، کنترل شبکه‌ای سیستم می‌باشد.

**امین رمضانی** در سال ۱۳۸۰ مدرک کارشناسی مهندسی برق خود را از دانشگاه شهید بهشتی و در سال ۱۳۸۲ مدرک کارشناسی ارشد مهندسی برق خود را از دانشگاه صنعتی شریف و در سال ۱۳۹۰ مدرک دکتری مهندسی برق خود را از دانشگاه تهران دریافت نمود. دکتر رمضانی هم‌اکنون یکی از اعضای هیأت علمی گروه مهندسی برق کنترل دانشکده مهندسی برق و کامپیوتر دانشگاه تربیت مدرس می‌باشد. زمینه‌های علمی مورد علاقه نامبرده متنوع بوده و شامل موضوعاتی مانند کنترل سیستم‌های تحمل پذیر عیب، سیستم‌های ارتباط از راه دور، سیستم‌های هوشمند حمل و نقل و سیستم‌های رویداد گسسته می‌باشد.

داده‌های بدون برون هشتگی، حد کنترلی برای فاز نظارت به دست آمد. جهت بررسی عملکرد الگوریتم پیشنهادی، مقایسه‌ای بین آن و روش‌های پیشین در فرایند TE صورت گرفت. با اعمال روش مذکور به فرایند TE نرخ عدم تشخیص عیب در اکثریت عیوب‌های این فرایند به صفر کاهش یافت. دلیل این کاهش این است که این الگوریتم از دو فضای اصلی و باقی‌مانده که مکمل یکدیگر هستند، برای تشخیص وقوع عیوب استفاده می‌کند. به این معنا که اگر در نمونه‌ای، فضای اصلی نتواند وقوع عیوب را در فرایند تشخیص دهد، فضای باقی‌مانده وقوع آن عیوب را آشکار می‌کند یا بر عکس. این امر برتری روش پیشنهادی را در مقایسه با روش‌های مشابه نشان می‌دهد.

## مراجع

- [1] J. V. Kresta, J. F. Macgregor, and T. H. E. Marlin, "Multivariate statistical monitoring of process operating performance," *Can. J. Chem. Eng.*, vol. 69, no. 1, pp. 35-47, 1991.
- [2] B. R. Bakhshi, "Multiscale PCA with application to multivariate statistical process monitoring," *AIChE Journal*, vol. 44, no. 7, pp. 1596-1610, 1998.
- [3] W. Li, H. Yue, S. V. Cervantes, and J. Qin, "Recursive PCA for adaptive process monitoring," *J. Process Control*, vol. 10, no. 5, pp. 471-486, 2000.
- [4] B. M. Wise and N. B. Gallagher, "The process chemometrics approach to process monitoring and fault detection," *Comp. Chem. Eng.*, vol. 20, no. 1, pp. 65-78, 1996.
- [5] D. Dong and T. J. MacAvoy, "Nonlinear principal component analysis based on principal curves and neural networks," *J. Process Control*, vol. 6, no. 6, pp. 329-348, Jan. 1996.
- [6] P. Nomikos and J. F. MacGregor, "Monitoring batch processes using multiway principal component analysis," *AIChE Journal*, vol. 40, no. 8, pp. 1361-1375, Aug. 1994.
- [7] J. M. Lee, C. Yoo, S. W. Choi, P. A. Vanrolleghem, and I. B. Lee, "Nonlinear process monitoring using kernel principal component analysis," *Chem. Eng. Sci.*, vol. 59, pp. 223-234, 2004.
- [8] S. W. Choi, C. Lee, J. M. Lee, J. H. Park, and I. B. Lee, "Fault detection and identification of nonlinear process based on kernel PCA," *Chemometr. Intell. Lab.*, vol. 75, no. 1, pp. 55-67, 2005.
- [9] A. Hyvärinen and E. Oja, "Independent component analysis: algorithm and applications," *Neural Network Control*, vol. 13, no. 4-5, pp. 411-413, May/Jun. 2000.
- [10] C. Hsu, M. Chen, and L. Chen, "Intelligent ICA-SVM fault detector for non-gaussian multivariate process monitoring," *Expert Syst.*, vol. 37, no. 4, pp. 3264-3273, Apr. 2010.
- [11] W. Li and S. Hongbo, "Multivariate statistical process monitoring using an improved independent component analysis," *Chemical Engineering Research and Design*, vol. 88, no. 4, pp. 403-414, Apr. 2010.
- [12] Y. Zangh, "Enhanced statistical analysis of nonlinear using KPCA, KICA and SVM," *Chem. Eng. Sci.*, vol. 64, no. 5, pp. 801-811, Mar. 2009.
- [13] Z. Ge and Z. Song, "Process monitoring based on independent component analysis-principal component analysis (ICA-PCA) and similarity factors," *Ind. Eng. Chem. Res.*, vol. 46, no. 7, pp. 2054-2063, Mar. 2007.
- [14] X. Liu, L. Xie, U. Kruger, T. Littler, and S. Wang, "Statistical-based monitoring of multivariate non-gaussian systems," *AIChE J.*, vol. 54, pp. 2379-2391, 2008.
- [15] R. Storer, W. Ku, and C. Georgakis, "Disturbance detection and isolation by dynamic principal component analysis," *Chemometr. Intell. Lab.*, vol. 30, no. 1, pp. 179-196, Nov. 1995.